

Module d'interrupteur semi conducteur



Fig.	Circuit	Type de sortie	Ic (on) (mA) min.	Conditions de test I/Vce	Largeur de logement (mm)	Écartement entre les broches (mm)	N° de référence Digi-Key	Prix unitaire			
								1	10	100	500
1	B	Transistor	1.0	20 mA à 5 V	3.18	5.59	QVA11134-ND	1.39	1.13	.79	.60
	B	Transistor	1.0	20 mA à 5 V	3.15	7.24	H22A1-ND	1.28	1.05	.73	.55
	B	Transistor	2.0	20 mA à 5 V	3.15	7.24	H22A2-ND	1.28	1.05	.73	.55
	B	Transistor	4.0	20 mA à 5 V	3.15	7.24	H22A3-ND	1.28	1.05	.73	.55
	A	Darlington	2.5	5 mA à 1.5 V	3.15	7.24	H22B1-ND	1.10	.90	.62	.47
2	C	Transistor	0.5	20 mA à 5 V	3.81	7.62	QVE11233-ND	1.42	1.16	.81	.61
3	B	Transistor	1.0	20 mA à 5 V	3.15	7.24	H21A1-ND	1.28	1.05	.73	.55
	B	Transistor	2.0	20 mA à 5 V	3.15	7.24	H21A2-ND	1.28	1.05	.73	.55
	B	Transistor	4.0	20 mA à 5 V	3.15	7.24	H21A3-ND	1.28	1.05	.73	.55
	A	Darlington	2.5	5 mA à 1.5 V	3.15	7.24	H21B1-ND	1.10	.90	.62	.47

Modules d'interrupteur optique

Fig.	Circuit	Type de sortie	V c.c.	Courant de sortie max. (mA)	Montée/ chute (ns)	N° de référence Digi-Key	Prix unitaire			
							1	10	100	500
4	K	T.P. BUFF	4.5 - 16.0	50	70	H21LTB-ND	1.42	1.16	.81	.61
	L	T.P. INV	4.5 - 16.0	50	70	H21LTI-ND	1.42	1.16	.81	.61
	M	O.C. BUFF	4.5 - 16.0	50	70	H21LOB-ND	1.50	1.22	.85	.64
	N	O.C. INV	4.5 - 16.0	50	70	H21LOI-ND	1.42	1.16	.81	.61
5	K	T.P. BUFF	4.5 - 16.0	50	70	H22LTB-ND	1.58	1.28	.89	.67
	L	T.P. INV	4.5 - 16.0	50	70	H22LTI-ND	1.36	1.10	.77	.58
	M	O.C. BUFF	4.5 - 16.0	50	70	H22LOB-ND	1.36	1.10	.77	.58
	N	O.C. INV	4.5 - 16.0	50	70	H22LOI-ND	1.36	1.10	.77	.58

◆ Conforme à RoHS

Détecteurs photo infrarouge semi-conducteurs

Fig.	Circuit	BV _{CEO} (V)	IC min. à 5 V c.c. (mA)	Montée/ chute (µs)	Angle de réception ±	Sensibilité de pointe de longueur d'onde	N° de référence Digi-Key	Prix unitaire			
								1	10	100	500
6	F	45	6	8/7	—	880	BPW36-ND	1.92	1.71	1.10	.88
	F	45	6	8/7	—	880	L14G1-ND	1.85	1.65	1.07	.85
	F	45	3	8/7	—	880	L14G2-ND	1.92	1.71	1.10	.88
	F	45	12	8/7	—	880	L14G3-ND	1.92	1.71	1.10	.88
	F	30	4	10/12	12	880	L14P1-ND	2.11	1.88	1.21	.97
	F	30	8	14/16	12	880	L14P2-ND	2.11	1.88	1.21	.97
	E	25	3	300/250	8	880	BPW38-ND	1.92	1.71	1.10	.88
	E	25	3	300/250	8	880	L14F1-ND	1.92	1.71	1.10	.88
	E	25	1	300/250	8	880	L14F2-ND	1.92	1.71	1.10	.88
	7	F	50	1	5/5	60	880	L14C1-ND	1.92	1.71	1.10
F		50	0.5	5/5	60	880	L14C2-ND	1.92	1.71	1.10	.88
F		30	3	10/12	30	880	L14N1-ND	1.92	1.71	1.10	.88
F		30	6	14/16	30	880	L14N2-ND	1.92	1.71	1.10	.88
8	D	30	1	5/5	8	880	QSC112-ND	.40	.29	.19	.11
	D	30	2	5/5	8	880	QSC113-ND	.40	.29	.19	.11
	D	30	4	5/5	8	880	QSC114-ND	.40	.29	.19	.11
9	D	30	1.6	7/7	12	880	QSD122-ND	.41	.30	.20	.14
	D	30	3.2	7/7	12	880	QSD123-ND	.41	.30	.20	.14
	D	30	7.5	7/7	12	880	QSD124-ND	.41	.30	.20	.14
10	D	30	1.2	8/8	12	880	QSD722-ND	.41	.30	.20	.14
	D	30	3	8/8	12	880	QSD723-ND	.41	.30	.20	.14
11	D	30	0.64	8/8	8	880	QSE113-ND	.44	.32	.21	.15
	D	30	1.28	8/8	8	880	QSE114-ND	.44	.32	.21	.15
	D	30	0.4	8/8	25	880	QSE122-ND	.58	.42	.27	.20
	D	30	0.2	8/8	25	880	QSE213C-ND	.42	.34	.23	.14
	D	30	1.0	8/8	25	880	QSE214C-ND	.47	.34	.22	.16

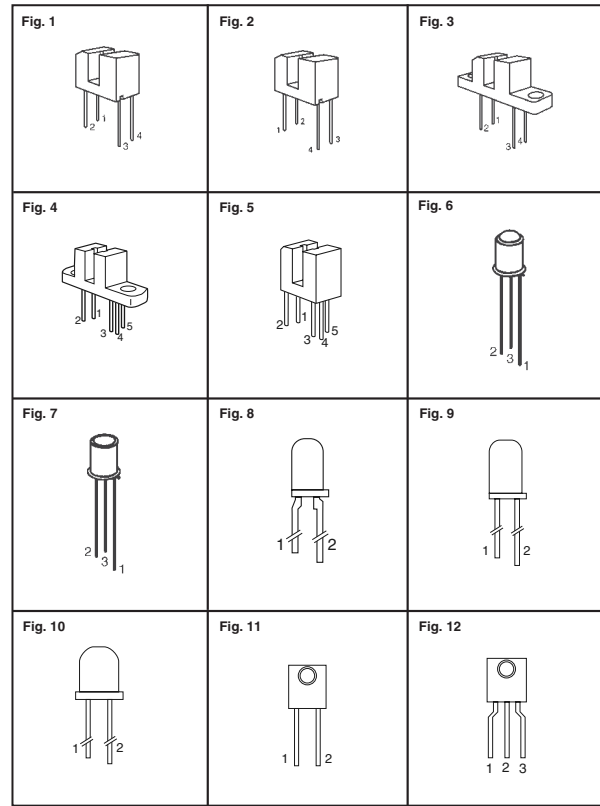
◆ Conforme à RoHS

Détecteurs logiques



§ T.P. SÉPARATEUR ‡ SÉPARATEUR O/C

Fig.	Circuit	Type de sortie	V c.c.	Absorption (mA)	Isource (mA)	Montée/ chute (ns)	Angle de réception ±	Sensibilité de pointe de longueur d'onde	N° de référence Digi-Key	Prix unitaire			
										1	10	100	500
12	G	T.P. BUFFS	4.5 - 16	50	10	70	25	880	QSE156-ND	.66	.52	.37	.28
	I	T.P. INVERSE	4.5 - 16	50	10	70	25	880	QSE157-ND	.65	.51	.37	.28
	H	O.C. BUFF‡	4.5 - 16	50	—	100	25	880	QSE158-ND	.64	.50	.36	.27
	J	INV. O/C	4.5 - 16	50	—	100	25	880	QSE159-ND	.64	.50	.36	.27



Circuits

